



# Оценка эффективности моделирования физических сигналов с помощью модифицированного метода морфинга

Gregory Vorobyev

27.05.2022

# Стандартная модель

масса →	≈ 2.3 МэВ/c <sup>2</sup>	≈ 1.275 ГэВ/c <sup>2</sup>	≈ 173.07 ГэВ/c <sup>2</sup>	0	≈ 126 ГэВ/c <sup>2</sup>
заряд →	2/3	2/3	2/3	0	0
спин →	1/2	1/2	1/2	1	0
	<b>u</b> верхний	<b>c</b> очарованный	<b>t</b> истинный	<b>g</b> глюон	<b>H</b> бозон Хиггса
<b>КВАРКИ</b>					
	≈ 4.8 МэВ/c <sup>2</sup>	≈ 95 МэВ/c <sup>2</sup>	≈ 4.18 ГэВ/c <sup>2</sup>	0	
	-1/3	-1/3	-1/3	0	
	1/2	1/2	1/2	1	
	<b>d</b> нижний	<b>s</b> странный	<b>b</b> прелестный	<b>γ</b> фотон	
<b>КАЛИБРОВОЧНЫЕ БОЗОНЫ</b>					
	0.511 МэВ/c <sup>2</sup>	105.7 МэВ/c <sup>2</sup>	1.777 ГэВ/c <sup>2</sup>	91.2 ГэВ/c <sup>2</sup>	
	-1	-1	-1	0	
	1/2	1/2	1/2	1	
	<b>e</b> электрон	<b>μ</b> мюон	<b>τ</b> тау	<b>Z</b> Z бозон	
<b>ЛЕПТОНЫ</b>					
	< 2.2 эВ/c <sup>2</sup>	< 0.17 МэВ/c <sup>2</sup>	< 15.5 МэВ/c <sup>2</sup>	80.4 ГэВ/c <sup>2</sup>	
	0	0	0	≠ 1	
	1/2	1/2	1/2	1	
	<b>ν<sub>e</sub></b> электронное нейтрино	<b>ν<sub>μ</sub></b> мюонное нейтрино	<b>ν<sub>τ</sub></b> тау нейтрино	<b>W</b> W бозон	



?

Новая физика?

EFT

(англ. Effective Field Theory)

$$\mathcal{L}_{EFT} = \mathcal{L}_{SM} + \sum_i \frac{c_i^{(5)}}{\Lambda} \mathcal{O}_i^{(5)} + \sum_i \frac{c_i^{(6)}}{\Lambda^2} \mathcal{O}_i^{(6)} + \sum_i \frac{c_i^{(7)}}{\Lambda^3} \mathcal{O}_i^{(7)} + \dots \quad (1)$$

где каждый член  $\mathcal{O}_i^{(D)}$  разложения представляет собой  $SU(3)_C \otimes SU(2)_L \otimes U(1)_Y$ -инвариантный оператор размерности  $D$ , а параметры  $c_i^{(D)}$ , являющиеся множителями операторов в лагранжиане, называются коэффициентами Вильсона.

# Morphing

$$T_{\text{out}}(\vec{g}_{\text{target}}) = \sum w_i(\vec{g}_{\text{target}}; \vec{g}_i) T_{\text{in}}(\vec{g}_i), = \vec{P}(\vec{g}) \cdot A\vec{T}$$

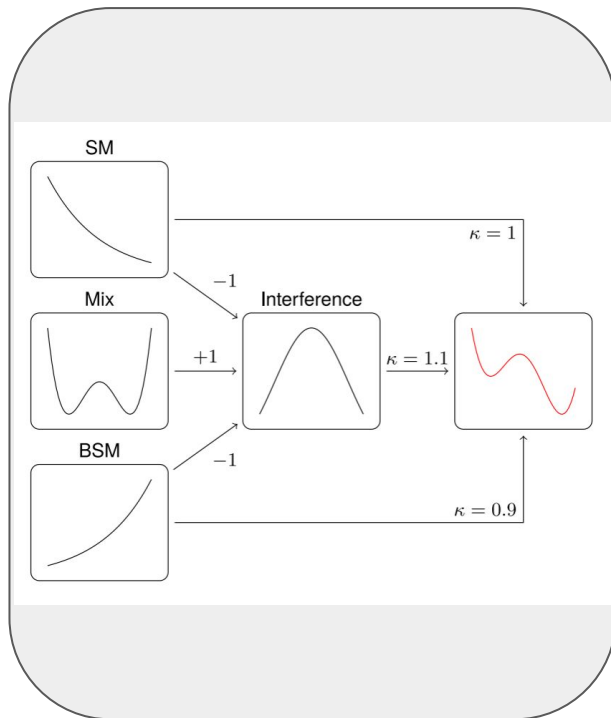
$$T_{\text{in},i}(g_{\text{SM},i}, g_{\text{BSM},i}) \propto$$

$$\propto g_{\text{BSM},i}^2 |\mathcal{O}_{\text{BSM}}|^2 + g_{\text{SM},i}^2 |\mathcal{O}_{\text{SM}}|^2 + 2g_{\text{SM},i}g_{\text{BSM},i} \mathcal{R}(\mathcal{O}_{\text{SM}}^* \mathcal{O}_{\text{BSM}}), i = 1, \dots, 3.$$

$$\begin{pmatrix} a_{11} & a_{12} & a_{13} \\ a_{21} & a_{22} & a_{23} \\ a_{31} & a_{32} & a_{33} \end{pmatrix} \cdot \begin{pmatrix} g_{\text{SM},1}^2 & g_{\text{SM},2}^2 & g_{\text{SM},3}^2 \\ g_{\text{BSM},1}^2 & g_{\text{BSM},2}^2 & g_{\text{BSM},3}^2 \\ g_{\text{SM},1}g_{\text{BSM},1} & g_{\text{SM},2}g_{\text{BSM},2} & g_{\text{SM},3}g_{\text{BSM},3} \end{pmatrix} = \mathbf{I}$$

$$\Leftrightarrow A \cdot G = \mathbf{I}$$

- +: Из “базисных” сэмплов (распределений) получаем желаемое.
- -: “базис” надо оптимизировать
- Надо найти матрицу A






# Цели




- Изучить структуру и использование
- Модифицировать классы для использования с дополнительными сэмплами (По умолчанию пакет использует минимальное или базисное кол-во сэмплов)
  
- Изучить эффективность метода (как количество дополнительных сэмплов качественно влияет на результирующие распределения)

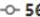




# MorphingStudies

sources: [my rep](#) (branch: *expand-sample-dim*)  
[origin rep](#)



HZZ > Run2 > MorphingStudies



**MorphingStudies**   
Project ID: 112913 



  Star 1  Fork 1

 56 Commits  2 Branches  0 Tags  840 KB Files  840 KB Storage

master MorphingStudies / + History Find file Edit fork in Web IDE ↓ Clone

 Merge branch 'refactorBasis'  
Maximilian Emanuel Goblirsch-Kolb authored 2 months ago 481424b1 

 README  No license. All rights reserved

Name	Last commit	Last update
 MorphingStudies	more doc	2 months ago
 Root	work on doc	2 months ago

## Суть модуля:

The package is intended to provide EFT morphing functionality in plain ROOT, outside RooFit. © *ReadMe*

Использовать базовые сэмплы классами алгебры морфинга, классами базисной оптимизации (основной интерес) и визуализации.

# Скрипт оптимизации базиса и создания графиков: Загрузка

В этом  
примере:  
VBF 2D (0,0,2)

```
///  
//In this scrip we have two sample sets VBF 2D (then nessary number of points is 15)  
std::array<std::shared_ptr<TH1F>,15> generateDummyHistograms(){  
    std::vector<float> yields {  
        0.41306, 3.148, 0.81035, 2.4365, 15.237, 4.2566, 4.0504, 40.74, 35.234, 3.0092, 10.486, 72.584, 79.002, 67.42, 215.78  
    };  
  
    std::array<std::shared_ptr<TH1F>,15> output={};  
    for (size_t k = 0; k < output.size(); ++k){  
        output[k] = std::make_shared<TH1F>(Form("basisHisto_%lu",k), ";total rate;rate",1,0.,1.);  
        output[k]->SetBinContent(1,yields[k]);  
        output[k]->SetBinError(1,0.01 * yields[k]); // this is the 1% stat errors  
        MorphingMetrics::enforceNeffTotal(output[k].get(), 100.e3); // definition in ../Root/Morph  
        // generally it change each error to error/sqrt(100.e3/(centralVal^2/uncertainty^2)),  
        // where centralVal is integratedYield and uncertainty is integratedErr (../MorphingStudie  
    }  
    return output;  
};
```

*util/Examples/Custom\_basis\_Optimizing\_and\_Plotting.cxx*

**MorphingTools::getNBasisPoints** (nProd, nDecay, nBoth) -  
возвращает число базисных сэмплов из *nProd, nDecay, nBoth* -  
целые

ВЗЯТО ИЗ ПРИМЕРА *util/Examples>Loading\_Custom\_Basis.cxx*

```
// get the basis histos  
std::array<std::shared_ptr<TH1F>,15> dummyHistos = generateDummyHistograms();  
std::array<std::array<float,2>, 15> sampleLocations{  
    std::array<float,2>{0.07, 0.07},  
    std::array<float,2>{1.67, -1.3},  
    std::array<float,2>{-1.86, 0.09},  
    std::array<float,2>{3.72, -0.32},  
    std::array<float,2>{-4.43, 1.59},  
    std::array<float,2>{-0.87, 1.78},  
    std::array<float,2>{-0.39, -1.57},  
    std::array<float,2>{0.05, 4.1},  
    std::array<float,2>{1.67, -4.41},  
    std::array<float,2>{1.66, 0.98},  
    std::array<float,2>{-4.2, -1.06},  
    std::array<float,2>{4.98, 2.52},  
    std::array<float,2>{4.92, -4.01},  
    std::array<float,2>{-3.63, 4.87},  
    std::array<float,2>{-3.2, -4.91},  
};  
  
/// Now, we can construct a morphing basis!  
/// We give it our locations (couplings) and the corresponding histos (cross-sections)  
/// We also need to tell it what we would like to morph (here: TH1F objects)  
/// The numbers are the number of prod / decay / prod-and-decay coefficients to morph  
// 0,0,2 - means nProd=0, nDecay=0 nProdAndDecay=2 (VBF 2D)  
MorphingTools::MorphingBasis<TH1F,0,0,2> theBasis(sampleLocations, dummyHistos);  
  
/// and we are done, print this basis  
theBasis.printBasis();
```

# Оптимизация базиса и создание графиков: Оптимизация

Главные составляющие оптимизации:

- генератор смещённых базисов
- размерная сетка
- метод оценки качества

```
BasisGenerator<0,0,2> myGenerator{
  // step sizes: 0.03 + 0.03 * nfailed in each direction
  {
    std::pair<float,float>{0.03,0.03},
    std::pair<float,float>{0.03,0.03},
  },
  // allow each coordinate to run up to 6 at most (abs max of couplings meaning)
  // Just range of the generator
  {
    6,6
  },
  // We emulate that each generated basis has N_eff = 100.e3
  100.e3
};
// 5x5 test points in -1...1
ScanGrid<0,0,2> myGrid;
myGrid.addRectangle({
  std::make_pair(5, 1.f),
  std::make_pair(5, 1.f),
});
// And then let's add a coarser grid for large couplings, to also
// include these points at a lower priority
myGrid.addRectangle({
  std::make_pair(5, 5.f),
  std::make_pair(5, 5.f),
});
```

```
/// Now we still need to set up how to score a basis. A higher score is better.
BasisScorer<TH1F, 0,0,2> myScorer{
  [](const Plot<TH1F> h, const std::array<float,2> & point){
    return MorphingMetrics::getNeffTotal(h()) / (1. + 0.02 * (point[0]*point[0]+point[1]*point[1]));
  },
  // as an example, we return the n_effective per point, and upweigh those points
  // close to the SM (to further enhance their importance).

  /// @tparam h - is a our histogramm. We calculate NeffTotal as (centralVal2/uncertainty2),
  // where <centralVal> is integratedYield and <uncertainty> is integratedErr
  {../MorphingStudies/MorphingMetrics.h line 11}.

  10.
  // this assigns a relative weight against the condition number (which acts as a tie breaker)
};

/// instantiate the tuner
BasisTuner<TH1F,0,0,2> MyTuner(
  theBasis,
  myGrid,
  myGenerator,
  myScorer,
  5000 // here, we just run 5000 iterations
  // so if you want see only score, then boot only 1 iteration
);

// run the tuning
MyTuner.runTuning();

// and print the outcome.
// MyTuner.getCurrentBasis().printBasis();

// The printout will display a NEGATIVE score - this is intended, because the implementation
// behind the scenes minimises a score including the negative of the myScorer output.
```



# Оптимизация базиса и создание графиков: Графики

```
ProjectionPlane<2,2> scanPlane_cHWtil_cHBtil {
    {
        ProjectionHelpers::ProjectionAxis<2>{{1.,0.}, "c_{H#tilde{W}}", 10}, //x axis of 2D plot
        ProjectionHelpers::ProjectionAxis<2>{{0.,1.}, "#c_{H#tilde{B}}", 10}, // y axis of 2D plot
    },
    {0.,0.} // origin of 2D plot
};

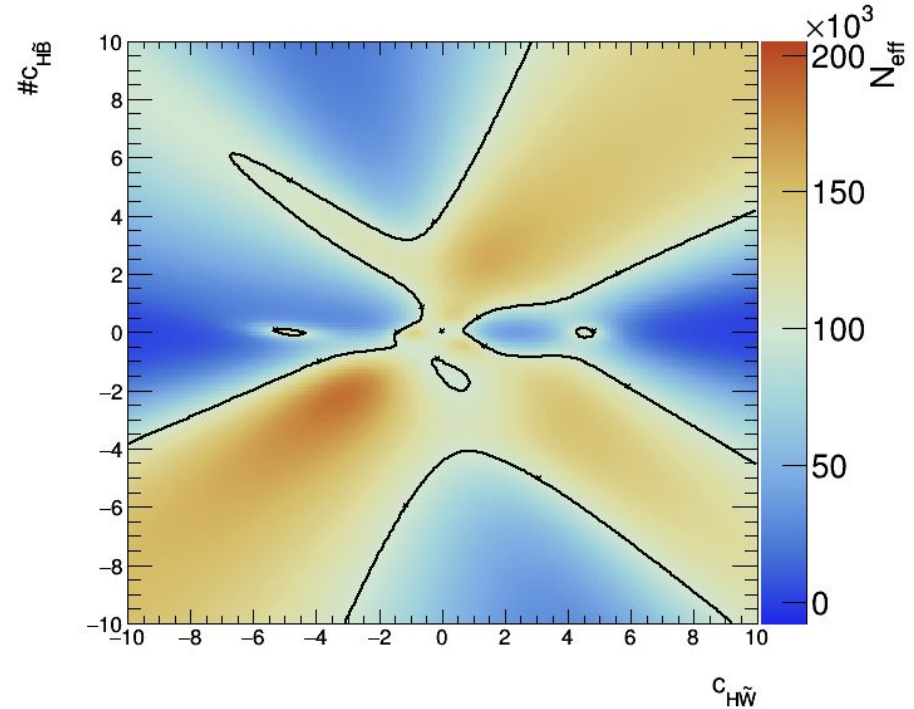
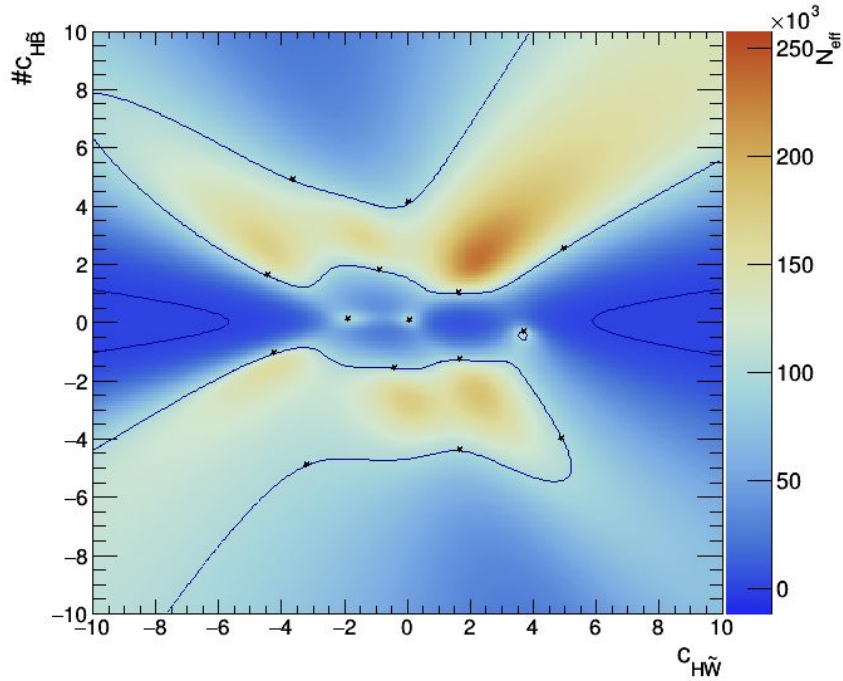
// then we can call the "plot2D" method, giving it our basis, the projection, the metric we would like,
// and an output file name
// Argument 4 is an optional handle for multi-page-PDF file writing.
// Argument 5 is a set of contour levels to superimpose.
// The last argument steers the visuals of the canvas.
CanvasOptions myCanvasOpts = CanvasOptions().ColorPalette(kLightTemperature).RightMargin(0.25).TopMargin(0.07).OutputFormats({"png"});
myCanvasOpts.ZAxis.modify().Title("N_{eff}");

// option for creating common file with plots
// use auto mpc = PlotUtils::startMultiPagePdfFile("BasisTuning_VBF_3D"); for creating common pdf file
auto mpc = nullptr;
//for MorphingPlots::metricToPlot:: <your_parametr> are few options: NeffTotal, NeffMin, SigmaRelMax, Yield
//{100.e3,1.e3,10,1} - level lines will be written on this meanings of <your_parametr>
MorphingPlots::plot2D<TH1F,2>(theBasis, scanPlane_cHWtil_cHBtil, MorphingPlots::metricToPlot::NeffTotal,"Neff_cHWtil_cHBtil_startBasis",mpc,{100.e3,1.e3,10,1}, myCanvasOpts);
MorphingPlots::plot2D<TH1F,2>(newBasis, scanPlane_cHWtil_cHBtil, MorphingPlots::metricToPlot::NeffTotal,"Neff_cHWtil_cHBtil_newBasis",mpc,{100.e3,1.e3,10,1}, myCanvasOpts);
return 0;
```



# Оптимизация базиса и создание графиков: Графики

2D VBF (исходный => новый)



# Overdetermined Morphing:

Исходная программа (стандартный Morphing) использует **только базисные** (минимальное количество) сэмплы и игнорирует любые дополнительные.

**Overdetermined Morphing** использует дополнительные сэмплы и решает связанные с ними некоторые математические трудности.

Standard Morphing case:

$$\begin{pmatrix} a_{11} & a_{12} & a_{13} \\ a_{21} & a_{22} & a_{23} \\ a_{31} & a_{32} & a_{33} \end{pmatrix} \cdot \begin{pmatrix} g_{SM,1}^2 & g_{SM,2}^2 & g_{SM,3}^2 \\ g_{BSM,1}^2 & g_{BSM,2}^2 & g_{BSM,3}^2 \\ g_{SM,1}g_{BSM,1} & g_{SM,2}g_{BSM,2} & g_{SM,3}g_{BSM,3} \end{pmatrix} = \mathbf{I}$$
$$\Leftrightarrow A \cdot G = \mathbf{I} \Rightarrow A = G^{-1} \quad (1)$$

Overdetermined Morphing case:

$$\begin{pmatrix} a_{11} & a_{12} & a_{13} \\ a_{21} & a_{22} & a_{23} \\ a_{31} & a_{32} & a_{33} \\ a_{41} & a_{42} & a_{43} \end{pmatrix} \cdot \begin{pmatrix} g_{SM,1}^2 & g_{SM,2}^2 & g_{SM,3}^2 & g_{SM,4}^2 \\ g_{BSM,1}^2 & g_{BSM,2}^2 & g_{BSM,3}^2 & g_{BSM,4}^2 \\ g_{SM,1}g_{BSM,1} & g_{SM,2}g_{BSM,2} & g_{SM,3}g_{BSM,3} & g_{SM,4}g_{BSM,4} \end{pmatrix} =$$
$$= \mathbf{I} \Leftrightarrow A \cdot G = \mathbf{I}, \text{ but } G^{-1} \text{ doesn't exist, } A = ? \quad (2)$$

solution:

$\vec{x} = (G^T G)^{-1} G^T \vec{b}$ , where  $(G^T G)^{-1} G^T$  is the pseudo-inverse of  $G$ .

$$A = (G^T G)^{-1} G^T \quad (3)$$

# Overdetermined Morphing: nExtraPoints

```
template <int nProdOnly, int nDecayOnly, int nProdAndDecay, int nExtraPoints>
void MorphingCalculator<nProdOnly, nDecayOnly, nProdAndDecay, nExtraPoints>::buildMorphingMatrix(){
    // perform column-wise copy of the input array into the morphing matrix (needs translation to polynomials)
    for (size_t col = 0; col < m_basisPoints.size(); ++col){ // @ for OM: m_basisPoints.size() will be increased by addSamplesPoints
        // convert each sample
        m_auxArr = toCouplingPolynomials<nProdOnly, nDecayOnly, nProdAndDecay>(m_basisPoints[col]); ← polynomial
        // then plug it into an eigen vector (no re-allocation)
        Eigen::Map<Eigen::Matrix<float, nBasisPoints, 1>> inputSample (&m_auxArr[0]);
        // and add it to the matrix
        m_morphMatrix.col(col) = inputSample.col(0); ← matrix of polynomials
    }
    // now, obtain the weight matrix by inverting
    m_weightMatrix = pseudoInverse(m_morphMatrix); // @ for OM: SVD-based solution
    // @ for OM: m_morphMatrix.inverse() ->
    // 1) m_morphMatrix.transpose()*m_morphMatrix.inverse()*m_morphMatrix.transpose(); - not precise method
    // 2) m_morphMatrix.completeOrthogonalDecomposition().pseudoInverse(); - doesn't work correct any time
}
```

==== Morphing Matrix: ====				
	1.0000	1.0000	1.0000	
	9.0600	10.9500	1.9500	
	82.0836	119.9025	3.8025	
==== Weight Matrix: ====				
	-1.6068	0.9708	-0.0754	
	1.0503	-0.6545	0.0594	
	1.5674	-0.3166	0.0189	

И каждый следующий класс, метод и функции класса должны быть изменены:

```
template <int nProdOnly, int nDecayOnly, int nProdAndDecay> to
template <int nProdOnly, int nDecayOnly, int nProdAndDecay, int nExtraPoints>
```

(Если в этом есть необходимость)

# Overdetermined Morphing: Псевдоинверсия

```
// now, obtain the weight matrix by inverting
m_weightMatrix = pseudoInverse(m_morphMatrix); //@ for OM: SVD-based solution
//@ for OM: m_morphMatrix.inverse() ->
// 1) m_morphMatrix.transpose()*m_morphMatrix.inverse()*m_morphMatrix.transpose(); - not precise method
// 2) m_morphMatrix.completeOrthogonalDecomposition().pseudoInverse(); - doesn't work correct any time
```

```
namespace MorphingTools{
// SVD-based solution for method to compute the (Moore-Penrose) pseudo inverse (http://eigen.tuxfamily.org/index.php?title=FAQ)
template<typename MatType>
using PseudoInverseType = Eigen::Matrix<typename MatType::Scalar, MatType::ColsAtCompileTime, MatType::RowsAtCompileTime>;

template<typename MatType>
PseudoInverseType<MatType> pseudoInverse(const MatType &a, double epsilon = std::numeric_limits<double>::epsilon()){
    using WorkingMatType = Eigen::Matrix<typename MatType::Scalar, Eigen::Dynamic, Eigen::Dynamic, 0, MatType::MaxRowsAtCompileTime, MatType::MaxColsAtCompileTime>;
    Eigen::BDCSVD<WorkingMatType> svd(a, Eigen::ComputeThinU | Eigen::ComputeThinV);
    svd.setThreshold(epsilon*std::max(a.cols(), a.rows()));
    Eigen::Index rank = svd.rank();
    Eigen::Matrix<typename MatType::Scalar, Eigen::Dynamic, MatType::RowsAtCompileTime,
    0, Eigen::BDCSVD<WorkingMatType>::MaxDiagSizeAtCompileTime, MatType::MaxRowsAtCompileTime>
    tmp = svd.matrixU().leftCols(rank).adjoint();
    tmp = svd.singularValues().head(rank).asDiagonal().inverse() * tmp;
    return svd.matrixV().leftCols(rank) * tmp;
} // for some reason this func slow down cmake compilation a lot.
```



# Overdetermined Morphing: Результаты

```
MorphingTools::MorphingCalculator<2,0,0,1> smth1({9.06,10.95,1.95,4.95,3.77,6.41,9.46,16.95,1.55,4.48,3.277,8.81,9.81});  
smth1.debugPrint();
```

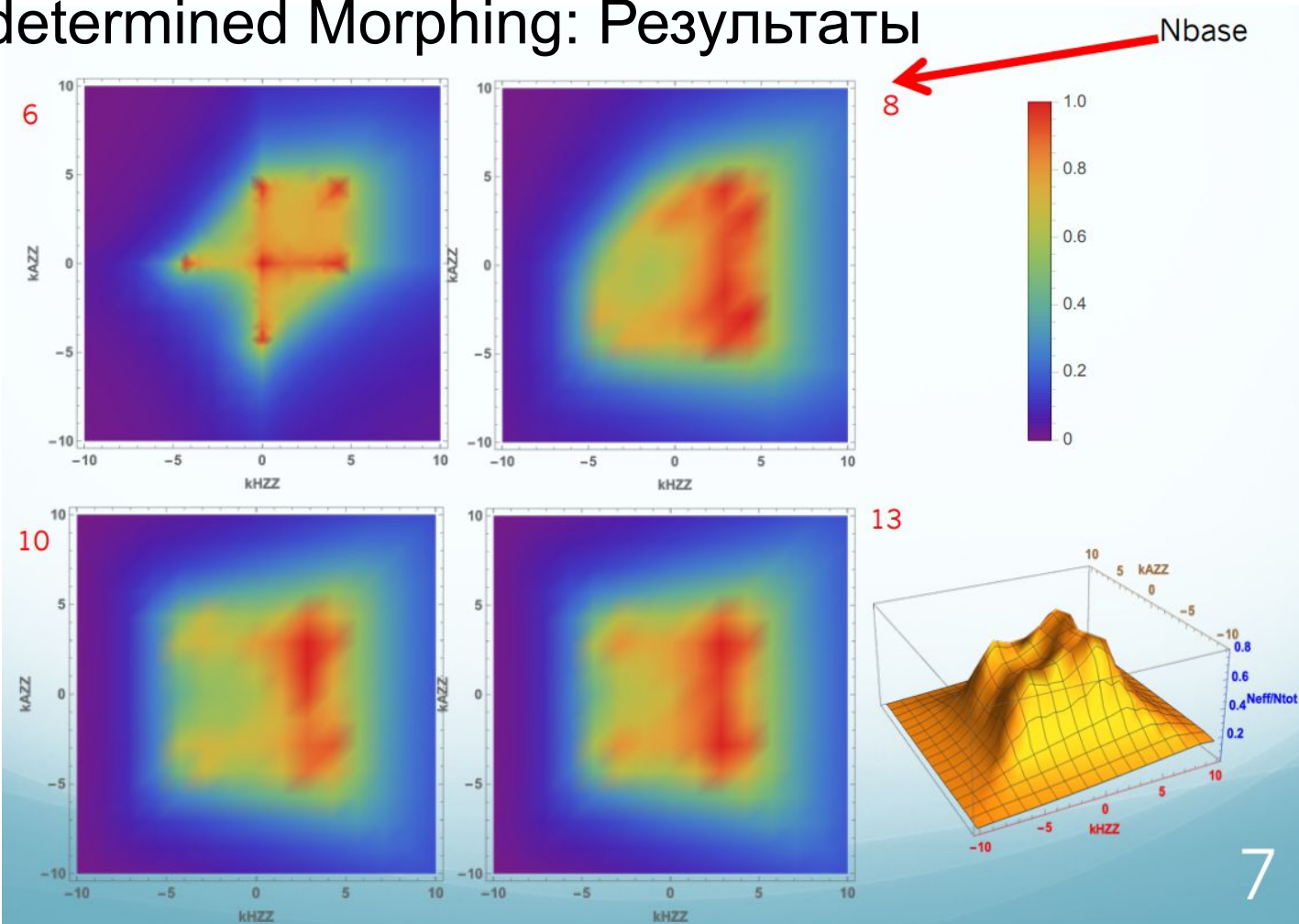
```
==== Printing coupling polynomials: ====  
1 (total order 0); c_0^{1} (total order 1); c_1^{1} (total order 1); c_0^{2} (total order 2); c_0^{1} x c_1^{1} (total order 2); c_1^{2} (total order 2)  
==== Basis points: ====  
--> { 9.06, 10.95 }  
--> { 1.95, 4.95 }  
--> { 3.77, 6.41 }  
--> { 9.46, 16.95 }  
--> { 1.55, 4.48 }  
--> { 3.277, 8.81 }  
--> { 9.81, 0 }  
==== Morphing Matrix: ====  
| 1.0000 1.0000 1.0000 1.0000 1.0000 1.0000 1.0000 | 1.0000 |  
| 9.0600 1.9500 3.7700 9.4600 1.5500 3.2770 9.8100 | 9.8100 |  
| 10.9500 4.9500 6.4100 16.9500 4.4800 8.8100 0.0000 | 0.0000 |  
| 82.0836 3.8025 14.2129 89.4916 2.4025 10.7387 96.2361 | 96.2361 |  
| 99.2070 9.6525 24.1657 160.3470 6.9440 28.8704 0.0000 | 0.0000 |  
| 119.9025 24.5025 41.0881 287.3025 20.0704 77.6161 0.0000 | 0.0000 |  
==== Weight Matrix: ====  
| -0.4761 -0.2796 0.2582 0.0334 0.0065 -0.0184 | 0.0000 |  
| 1.0596 -0.2140 -0.0745 0.0108 0.0087 -0.0005 | 0.0000 |  
| 0.2107 1.2428 -0.5208 -0.1289 0.0405 0.0066 | 0.0000 |  
| 0.4545 0.0756 -0.1764 -0.0124 0.0053 0.0107 | 0.0000 |  
| 1.4470 -0.5750 -0.0025 0.0436 0.0049 -0.0023 | 0.0000 |  
| -1.7673 -0.2896 0.5540 0.0479 -0.0551 -0.0012 | 0.0000 |  
| 0.0715 0.0397 -0.0381 0.0056 -0.0108 0.0050 | 0.0000 |  
Morphing*Weight*Morphing Matrix:  
| 1 1 1 1 1 1 1 |  
| 9.06 1.95 3.77 9.46 1.55 3.277 9.81 |  
| 10.95 4.95 6.40999 16.95 4.48 8.80999 -8.06797e-06 |  
| 82.0836 3.80249 14.2129 89.4916 2.40249 10.7387 96.2361 |  
| 99.2069 9.65248 24.1657 160.347 6.94398 28.8703 2.31538e-05 |  
| 119.902 24.5024 41.088 287.302 20.0703 77.616 -1.61476e-05 |
```

2D ggf

n.Prod=2,  
n.Decay=0,  
n.Both=0.

n.Extra  
Samples = 1

# Overdetermined Morphing: Результаты





# Заключение

В данной работе был проведён небольшой обзор на проблемы Стандартной модели и современной физики частиц, и в частности рассмотрено направление исследования бозона Хиггса, эффективная теория поля, как метод поиска новой физики, а также метод морфинга, разработкой и усовершенствованием которого занимается наша группа в ATLAS. Метод упрощает процедуру моделирования разных параметров их корреляцию.

В рамках научной работы были начаты разработка скрипта на языке C++ и усовершенствование для более общих случаев существующего модуля “MorphingStudies”, рассчитывающего матрицу морфинга, необходимую моделирования параметров (например распределений коэффициентов Вильсона).

В работе приведены частные косвенные подтверждения, что новый метод переопределённого морфинга должен улучшить достоверность моделирования.

Отдельно стоит отметить, что были улучшены навыки программирования на языке C++ с использованием математических библиотек, а также опыт работы с модулями стандарта ATLAS Analysis Release и применение вычислительных методов в языке C++ с помощью библиотеки Eigen .

# Overdetermined Morphing

Для неквадратных матриц и вырожденных матриц обратных матриц не существует:

$$\begin{pmatrix} a_{11} & a_{12} & a_{13} \\ a_{21} & a_{22} & a_{23} \\ a_{31} & a_{32} & a_{33} \\ a_{41} & a_{42} & a_{43} \end{pmatrix} \cdot \begin{pmatrix} g_{SM,1}^2 & g_{SM,2}^2 & g_{SM,3}^2 & g_{SM,4}^2 \\ g_{BSM,1}^2 & g_{BSM,2}^2 & g_{BSM,3}^2 & g_{BSM,4}^2 \\ g_{SM,1}g_{BSM,1} & g_{SM,2}g_{BSM,2} & g_{SM,3}g_{BSM,3} & g_{SM,4}g_{BSM,4} \end{pmatrix} =$$

Рассмотрим задачу  $A\vec{x} = \vec{b}$ , где  $A = [m \times n]$ ,  $m \geq n$ . Обозначим  $\mathbf{I} = \mathbf{I} \Leftrightarrow A \cdot G = \mathbf{I}$  (10)  
 $E(\vec{x}) = \|\vec{b} - A\vec{x}\|^2, \|x_i\|^2 = \sum_i |x_i|^2$ . Тогда:

$$E(\vec{x}) = (\vec{b} - A\vec{x})^T (\vec{b} - A\vec{x}) = (\vec{b})^T \vec{b} - 2(\vec{b})^T A\vec{x} + (\vec{x})^T A^T A\vec{x}$$

Методом наименьших квадратов:

$$\frac{\partial E(\vec{x})}{\partial \vec{x}} = -2A^T \vec{b} - 2A^T A\vec{x} = 0 \Rightarrow A^T A\vec{x} = A^T \vec{b} \Rightarrow \vec{x} = (A^T A)^{-1} A^T \vec{b}, \quad (11)$$

где  $(A^T A)^{-1} A^T$  псевдо-инверсия  $A$ .